

利用 EXAFS 研究酿酒酵母与 Zn(Ⅱ)的相互作用机制

陈灿¹, 谢亚宁², 杜永华², 王建龙^{1*}

(1. 清华大学核能与新能源技术研究院环境技术研究室, 北京 100084; 2. 中国科学院高能物理研究所同步辐射室, 北京 100049)

摘要: 为深入探讨酿酒酵母与重金属离子 Zn(Ⅱ) 的相互作用机制, 利用扩展 X 射线吸收精细结构谱 (EXAFS) 研究了在不同实验条件下, 酿酒酵母吸附重金属离子 Zn(Ⅱ) 的局域结构。结果表明, Zn 以四配位体和六配位体混合构型与酵母细胞表面结合, 且以四配位体构型为主。Zn 的第一配位层 Zn—O 原子间距和配位数分别在 0.197~0.203 nm 和 3.2~4.3 范围内。Zn(Ⅱ) 初始浓度升高、初始 pH 值升高导致 Zn—O 配位数下降, 活酵母细胞 Zn—O 配位数低于死酵母细胞, Zn—O 原子间距下降。

关键词: 酿酒酵母; 生物吸附; Zn 离子; EXAFS

中图分类号: X703.1 文献标识码: A 文章编号: 0250-3301(2008)06-1666-05

Interaction Mechanism Between Zn(Ⅱ) and *Saccharomyces cerevisiae* Using EXAFS

CHEN Can¹, XIE Ya-ning², DU Yong-hua², WANG Jian-long¹

(1. Laboratory of Environmental Technology, Institute of Nuclear and New Energy Technology, Tsinghua University, Beijing 100084, China;
2. Institute of High Energy Physics, Chinese Academy of Sciences, Beijing 100049, China)

Abstract: The extended X-ray absorption fine structure spectroscopy (EXAFS) was used to investigate the mechanisms of interaction between Zn(Ⅱ) and *Saccharomyces cerevisiae*. The nature of the zinc center in the yeast cells exposed to different Zn(Ⅱ) concentrations and initial pH was determined by Zn K-edge X-ray absorption spectroscopy. The experimental results suggested that the adsorbed zinc ion on the yeast was the mixture of tetrahedron and octahedron structure, and Zn—O bond length changed within 0.197–0.203 nm and coordination number varied between 4.3 and 3.2 under different conditions. Increase of the initial concentration of Zn(Ⅱ) and initial pH value decreased the coordination number of Zn—O. Zn—O bond length and coordination number of the live cells of the yeast was lower than that of dead cells.

Key words: *Saccharomyces cerevisiae*; biosorption; zinc(Ⅱ); EXAFS

生物吸附法是一种新颖的废水处理方法^[1]。重金属离子在微生物细胞上的吸附, 是一种复杂的固-液界面体系, 许多用于气-固界面体系的表面分析仪无法有效地应用于溶液吸附的微观研究^[2,3]。基于同步辐射光源的扩展 X 射线吸收精细结构谱 (extended X-ray absorption fine structure, EXAFS) 技术可以研究各类环境样品中元素的局域结构状态, 如确定与吸附态金属相结合的周围原子的种类、个数以及原子间距等, 在近几年已迅速成为国际上研究固液界面吸附的热点之一。目前利用 EXAFS 技术对生物体系的研究开始增多, 除植物修复方面有所报道外, 缺乏对微生物整体细胞吸附重金属离子的研究^[2~10]。

本研究利用 EXAFS 技术, 结合宏观吸附实验, 以水溶液中不同 Zn(Ⅱ) 浓度下、不同 pH 值条件下 Zn 离子在不同状态酿酒酵母细胞 (干燥死酵母、新鲜活酵母) 表面上的吸附体系为对象, 对酵母表面 Zn(Ⅱ) 的局域结构进行了探讨。这项研究将为酵母细胞吸附金属离子 Zn 的微观机制提供直接的信息, 同时也是将 EXAFS 技术用于研究微生物细胞-金属离

子相互作用机制方面进行了尝试, 可为类似体系的细胞-离子相互作用关系的 EXAFS 研究提供参考。

1 材料与方法

1.1 菌株

干燥死酵母由燕京啤酒厂提供, 新鲜活酵母是由购买于中国科学院微生物研究所、编号为 2.606 的酿酒酵母 (*Saccharomyces cerevisiae*) 培养所得。

1.2 生物吸附试验方法

分别取 0.1 g (干重) 酵母细胞、50 mL 硝酸锌离子溶液于 100 mL 锥形瓶中, 置于恒温摇床上振荡 (30℃, 150 r·min⁻¹)。干燥死酵母振荡反应 3 h, 而新鲜活酵母振荡反应 72 h。然后离心分离 (12 000 r·min⁻¹, 5 min), 收集上清液测量 Zn 离子浓度并测

收稿日期: 2007-06-03; 修订日期: 2007-09-26

基金项目: 国家自然科学基金项目(50278045); 清华大学基础研究基金项目(JC2002054)

作者简介: 陈灿 (1973~), 女, 博士研究生, 主要研究方向为水污染控制。

* 通讯联系人, E-mail: wangjl@tsinghua.edu.cn

量 pH 值,计算酵母吸附量.Zn 离子浓度 c 的分析方法以及吸附量 q 计算方法见文献[11].吸附离心后

的酵母用去离子水离心洗涤 2~3 次用于 EXAFS 测定.具体试验条件和吸附结果见表 1.

表 1 吸附实验结果

Table 1 Results of Zn(II) samples adsorption by *S. cerevisiae*

样品编号	Zn(II)初始浓度 /mmol·L ⁻¹	初始 pH	反应后 pH	吸附量 /mmol·g ⁻¹	平衡浓度 /mmol·L ⁻¹	酵母状态
Zn1	1	4	6.01	0.090	0.848	死酵母
Zn2	2	4	6.00	0.164	1.406	死酵母
Zn3	5	4	5.40	0.211	4.972	死酵母
Zn4	1	6	6.14	0.103	0.821	死酵母
Zn5	1	4	—	—	—	鲜酵母

1.3 EXAFS 样品制备、XAFS 光谱数据的采集与处理计算

将酵母细胞装入 3 mm × 2 mm 的铅制小槽,用胶带将小槽固定于 XAFS 测定器中.参照物为分析纯 ZnO、固体 Zn(NO₃)₂ · 6H₂O(s)、Zn 离子水溶液 Zn(NO₃)₂ · 6H₂O(aq.).参照物样品的制备分为 2 种:对于固体标准物采用固体粉末胶带法:研磨之后的固体粉末均匀地涂于 10 mm × 115 mm 的胶带上,折叠之后用于 EXAFS 测定;对于液体参照物则是装于塑料袋中,保证袋中各处溶液厚度比较均匀并且没有气泡.

EXAFS 实验在北京同步辐射装置(BSRF)的 1W1B 束线上进行.测定时储存环电子能量为 2.5 GeV,电子流强范围为 60~160 mA.实验在常温下进行,根据 Zn 离子的浓度采用透射和荧光模式,荧光模式下选用 Cu 滤波片.EXAFS 谱的测量范围为吸

收边前 150 eV 至吸收边后 800 eV.EXAFS 解谱采用 Cerius 2 软件.

2 结果与讨论

2.1 吸附实验结果

酵母吸附 Zn(II)的实验结果见表 1.可以看出,随着 Zn 离子初始浓度的升高,酵母吸附量升高.当溶液初始 pH 值从 4 增加到 6,酵母对 Zn 的吸收增加了 14%,达到 0.103 mmol·g⁻¹,pH 值增加,但是溶液最终 pH 值相差不大,不超过 0.14.

2.2 Zn-酵母吸附产物微观构型

参照物 ZnO、固体 Zn(NO₃)₂ · 6H₂O(s)、Zn(II)水溶液 Zn(NO₃)₂ · 6H₂O(aq.)与 5 种 Zn-酵母吸附样品的 EXAFS 谱图分别见图 1、图 2.EXAFS 第一配位层的分析结果见表 2.

从图 1、图 2 可以看出,Zn-酵母吸附样品中 Zn

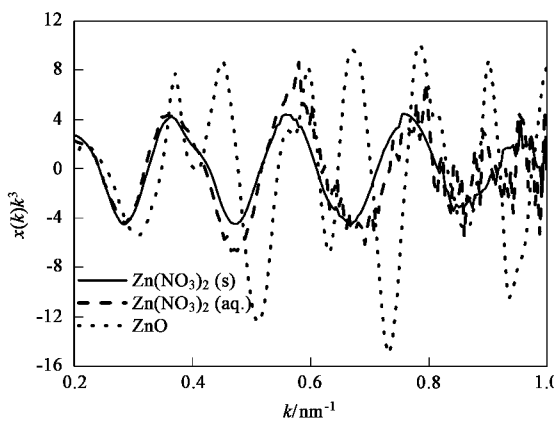
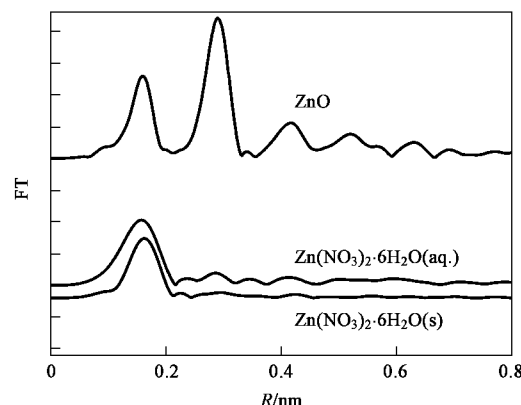


图 1 参照物 Zn-K 边 EXAFS 谱(k^3 权重)以及相应的径向结构函数

Fig.1 Normalized, background-subtracted k^3 -weighted EXAFS of ZnO and Zn(NO₃)₂ references and their corresponding radial distribution functions obtained by Fourier transformation

Waller 因子(σ^2)以及拟合残差 Residual,见表 2.表 2 说明,随着 Zn 离子初始浓度的增加,酵母表面 Zn 负荷的增加,Zn—O 配位数逐渐从 4.3 下降到 3.9,而

第一配位层最近邻原子是 O 原子.根据 Cerius 2 软件计算得到 Zn-酵母吸附样品中第一配位层对应的配位原子间距 R 、近邻原子的配位数 N 、Debye-



Zn—O 键长差别不、基本维持在 0.202 ~ 0.203 nm。Zn 离子初始浓度增加导致细胞表面 Zn—O 间距增加、配位数下降的趋势，在真菌细胞壁吸附 Zn 中也观察到^[10]。体系初始 pH 值从 4 增加到 6, Zn—O 键长不变，但是配位数下降，从 0.43 下降到 0.39。活酵母细胞与干燥死酵母细胞吸附的 Zn 比较，被吸附的 Zn—O 键长降低(从 0.202 nm 下降到 0.197 nm)，配位数下降到 3.2。

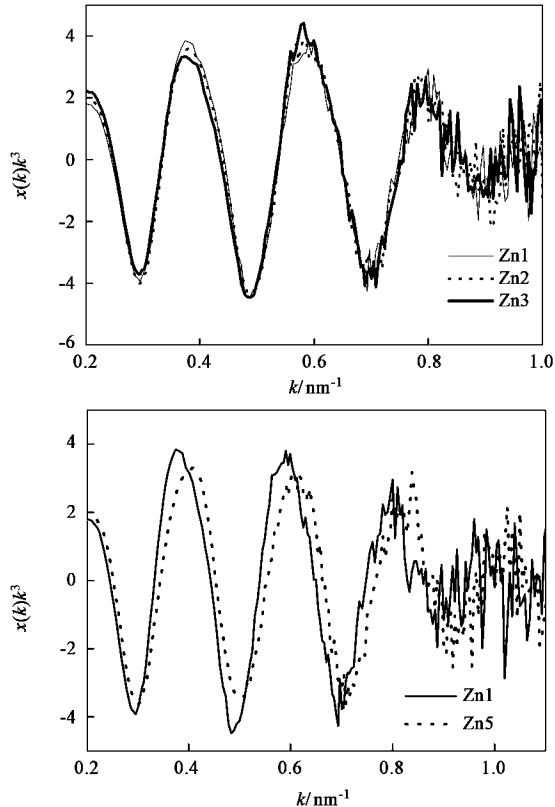


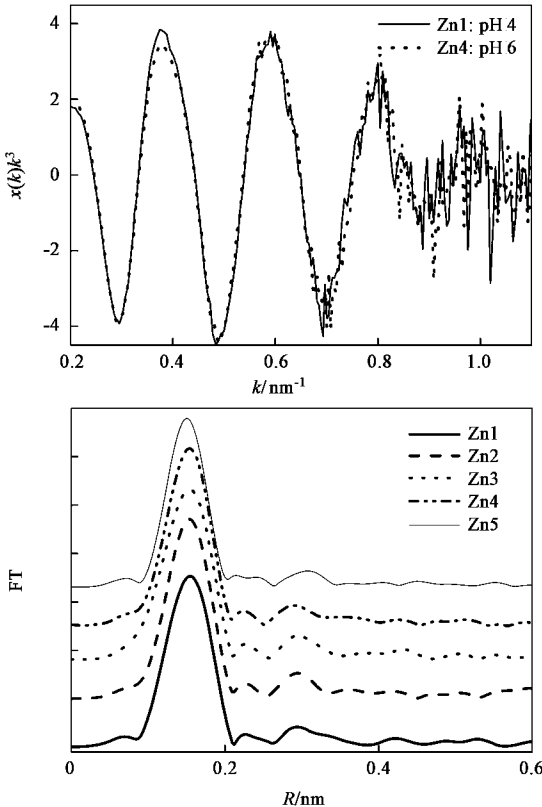
图 2 Zn-酵母吸附样品 Zn-K 边 EXAFS 谱(k^3 权重)以及相应的径向结构函数

Fig.2 Normalized, background-subtracted k^3 -weighted EXAFS of Zn(Ⅱ) adsorbed on the yeast and its corresponding radial distribution function obtained by Fourier transformation

Zn 具有 d¹⁰ 电子构型，化学键各向同性，多面体通常比较规则。因此，在一个给定的结构环境中，Zn 配体原子间距通常较为均匀。四配位的四面体以及六配位的八面体构型是 Zn(Ⅱ) 最常见的配位构型。考虑第一壳层，四面体构型 Zn—O₄ 与八面体构型 Zn—O₆ 明显不同。在典型的四面体构型(如 ZnO、Zn(OH)₂ 等)中 Zn—O 平均距离为 0.195 nm。而在一个典型的八面体构型(如 Zn 水合离子)中 Zn—O 平均距离为 0.210 nm。Zn—O 原子间距可以用来判定 Zn 的配位构型^[2]。有报道，Zn 水合离子(Zn²⁺(aq))是八面体构型 Zn—O₆，不过由于 Zn 水合离子的四配位和六配位构型之间的能量差异小，暗示着 Zn 水

表 2 EXAFS 样品第一配位层(Zn—O)拟合结果
Table 2 EXAFS results of first Zn—O coordination sphere

样品编号	R/nm	N	$10^2 \sigma^2/\text{nm}^2$	Residual
Zn1	0.202	4.3	0.006	23.48
Zn2	0.202	4.2	0.005	27.78
Zn3	0.203	4.0	0.005	33.48
Zn4	0.202	3.9	0.005	26.63
Zn5	0.197	3.2	0.004	25.16



合离子配位灵活。在本实验条件下，硝酸锌水溶液(Zn 水合离子)与 Zn-酵母吸附样品的 EXAFS 谱比较，酵母样品的波矢 k 值明显高于 Zn 水合离子，即样品的 Zn—O 距离低于 Zn²⁺(aq)。有报道指出，Zn²⁺(aq) 中 Zn—O 距离值为 0.207 nm^[12] 和 0.2098 nm^[2]。本实验测量值 Zn-酵母样品中的 Zn—O 距离(0.202 ~ 0.203 nm)比典型四面体构型固体 ZnO 中 Zn—O 原子间距(0.196 nm)长，比水合锌离子中的 Zn—O 原子间距短。

Toner 等^[13]认为第一配位层 Zn—O 距离 0.202 nm 是四面体和八面体以不同比例混合时的 Zn—O 平均距离。Sarret 等^[10]研究真菌细胞壁吸附 Zn，结果

表明, Zn 吸附量为 $7.6 \times 10^{-3} \sim 0.15 \text{ mmol/g}$ 时, Zn 主要以四面体构型与细胞壁表面磷酸基 PO_4 结合, 在高浓度条件下(0.22 mmol/g)羧基 COO^- 还参与 Zn 的配位, 但是其亲和力低, 贡献率不超过 10%, 说明六配位构型在 Zn-生物体表面较少, 贡献率常不超过 10%. Kelly 等^[14]认为, 当 Zn^{2+} 浓度在 $0.25 \text{ mmol/L} \sim 0.5 \text{ mmol/L}$ 时, Zn 与植物 *Datura innoxia* 细胞中的 N/O 原子以四面体配位, 平均距离 0.198 nm . Pokrovsky 等^[7]发现各类硅藻细胞表面吸附的 Zn 与 O 为四配位四面体构型, $\text{Zn}-\text{O}$ 距离为 $(0.200 \pm 0.002) \text{ nm}$, 与 1 个或 2 个羧酸盐形成单齿络合物, 认为羧基是结合 Zn 的主要基团. 潘纲等^[2]研究了 Zn(II)在水锰矿 ($\gamma\text{-MnOOH}$) 上的结构, 证实在 $\text{pH} = 7.15 \sim 0.1 \text{ mol/L NaNO}_3$ 介质、 25°C 条件下, Zn^{2+} 主要是通过共用水合 Zn^{2+} 的 O 原子及水锰矿表面上的 O 原子形成 $\text{Zn}-\text{O}$ 键, 平均 $\text{Zn}-\text{O}$ 原子间距为 $0.1998 \pm 0.0010 \text{ nm}$ ($n = 3$), 是六配位的 $\text{Zn}(\text{H}_2\text{O})_6^{2+}$ 及其水解产物四配位的 $\text{Zn}(\text{OH})_2$ 或 $\text{Zn}(\text{OH})_4^{2-}$ 各以一定比例混合吸附于水锰矿表面而形成.

根据上述分析, 可以初步判断本实验酵母吸附样品中, 在第一配位层 Zn 与 O 相结合, Zn 的结构介于四配位的四面体与六配位的八面体之间, 且以四配位体为主.

Zn^{2+} 初始浓度增加导致酵母细胞中 Zn 配位结构中 $\text{Zn}-\text{O}$ 间距增加(从 0.202 nm 增加到 0.203 nm)、配位数下降(从 4.3 下降到 3.0)的趋势, 与 Sarret 等^[10]利用真菌细胞壁吸附 Zn 离子的报道类似.

鲜酵母细胞吸附的 Zn($\text{Zn}-\text{O}$ 距离 0.197 nm) 则几乎完全是四配位的, 而且配位数(3.2)低于参照物氧化锌(ZnO)的配位数 4, 认为是细胞复杂环境造成 Zn 局域结构的严重扭曲^[10], 但体系对称性增加, 无序度降低.

本实验结果显示, 体系初始 pH 值升高(从 4 上升到 6)后, $\text{Zn}-\text{O}$ 键长不变, 但是导致 $\text{Zn}-\text{O}$ 配位数下降(从 4.3 下降到 3.9), 说明体系初始 pH 值对 Zn 局域结构仍然产生了某种影响. 体系 pH 值增加可能导致形成 Zn 的水解产物单核或多核羟基络合物, 甚至形成沉淀. 在酸性条件下, 溶液中的 Zn(II) 主要以六配位的 $\text{Zn}(\text{H}_2\text{O})_6^{2+}$ 水合离子形式存在, 当 $\text{pH} \geq 6$ 时, Zn^{2+} 极易水解, 形成 $\text{Zn}(\text{OH})_n^{2-n}$ 一系列水解形式, 如四配位的 $\text{Zn}(\text{OH})_2$ 或 $\text{Zn}(\text{OH})_4^{2-}$. 当 pH

值继续升高, 又可能形成六配位的八面体沉淀. 本实验中体系最终 pH 值分别达到 6.01、6.14. 朱梦强等^[15]研究水锰矿吸附 Zn, 认为 pH = 7.0 时, Zn 以四面体或八面体吸附于水锰矿表面, 在 pH = 7.5 和 pH = 8 时吸附于水锰矿表面的四面体又继续大量吸附溶液中的 Zn, 形成了八面体和四面体混合的多核羟基表面沉淀结构, 并以八面体占主要成分. pH 值增加, 八面体比例下降, 四面体比例升高, 此时大量表面沉淀的 Zn 高层散射信号掩盖了表面吸附态的 Zn 信号, 且配位数随着 pH 值增加而减小. 而 Bochatay 等^[12]用 EXAFS 研究 pH 值对 Zn 在水锰矿上吸附的影响表明, 随着体系 pH 值增加, 吸附样品的 $\text{Zn}-\text{O}$ 键长缩短(从 0.204 nm 下降到 0.196 nm), 配位数降低(从 6 下降到 4), 并且 Zn 的四配位构型比例增加.

从上面的讨论来看, 配位数降低有利于吸附量的升高. 与干酵母比较, 可以认为鲜酵母更有利于吸附 Zn.

3 结论

利用扩展 X 射线吸收精细结构谱(EXAFS)技术研究了酵母细胞中吸附的重金属离子 Zn 的局域结构, 表明 Zn 以四配位体和六配位体混合构型与酵母细胞表面结合, 且以四配位体构型为主. Zn 的第一配位层 $\text{Zn}-\text{O}$ 原子间距和配位数分别在 $0.197 \sim 0.203 \text{ nm}$ 和 $3.2 \sim 4.3$ 范围内. Zn(II) 初始浓度升高、初始 pH 值升高导致 $\text{Zn}-\text{O}$ 配位数下降. 活酵母细胞 $\text{Zn}-\text{O}$ 配位数低于死酵母细胞, $\text{Zn}-\text{O}$ 原子间距下降.

参考文献:

- Wang J L, Chen C. Biosorption of heavy metal by *Saccharomyces cerevisiae*: a review [J]. Biotechnol Adv, 2006, **24**(5):427-451.
- 潘纲, 秦延文, 李贤良, 等. 用 EXAFS 研究 Zn 在水锰矿上的吸附-解吸机理 [J]. 环境科学, 2003, **24**(3):1-7.
- Fomina M, Charnock J, Bowen A D, et al. X-ray absorption spectroscopy (XAS) of toxic metal mineral transformations by fungi [J]. Environ Microbiol, 2007, **9**(2):308-321.
- 王其武, 刘文汉. X 射线吸收精细结构及其应用 [M]. 北京: 科学出版社, 1994.103.
- Um W. Sorption mechanism and transport behavior of Sr(II) and Pb(II) on zeolitized tuffs from the Nevada test site [D]. Reno: University of Nevada, 2001.
- Boyanov M I, Kelly S D, Kemner K M, et al. Adsorption of cadmium to *Bacillus subtilis* bacterial cell walls: A pH-dependent X-ray absorption fine structure spectroscopy study [J]. Geochim Cosmochim Acta, 2003, **67**(18):3299-3311.
- Pokrovsky O S, Pokrovski G S, Gelabert A, et al. Speciation of Zn

- associated with diatoms using X-ray absorption spectroscopy [J]. Environ Sci Technol, 2005, **39**(12):4490-4498.
- [8] Guine V, Spadini L, Sarret G, et al. Zinc sorption to three gram-negative bacteria: Combined titration, modeling, and EXAFS study [J]. Environ Sci Technol, 2006, **40**(6):1806-1813.
- [9] Parsons J G, Aldrich M V, Gardea-Torresdey J L. Environmental and biological application of extened X-ray absorption fine structure (EXAFS) and X-ray absorption near edge structure (XANES) spectroscopies [J]. Appl Spectrosc Rev, 2002, **37**(2):187-222.
- [10] Sarret G, Manceau A, Spadini L, et al. Structural determination of Zn and Pb binding sites in *Penicillium chrysogenum* cell walls by EXAFS spectroscopy [J]. Environ Sci Technol, 1998, **32**(11):1648-1655.
- [11] 陈灿,王建龙.酿酒酵母吸 Zn^{2+} 的特性及其动力学研究 [J]. 清华大学学报(自然科学版),2006,**46**(12): 30-33.
- [12] Bochatay L, Persson P. Metal ion coordination at the water-manganite (γ -MnOOH) interface II . An EXAFS study of zinc(II) [J]. J Colloid Interface Sci, 2000, **229**(2):593-599.
- [13] Toner B, Manceau A, Webb S M, et al. Zinc sorption to biogenic hexagonal-birnessite particles within a hydrated bacterial biofilm [J]. Geochim Cosmochim Acta, 2006, **70**(1):27-43.
- [14] Kelly R A, Andrews J C, DeWitt J G. An X-ray absorption spectroscopic investigation of the nature of the zinc complex accumulated in *Datura innoxia* plant tissue culture [J]. Microchem J, 2002, **71**(2-3):231-245.
- [15] 朱孟强,潘纲,李贤良,等. EXAFS 研究不同酸度下 Zn^{2+} 在水锰矿表面的吸附和沉淀 [J]. 物理化学学报, 2005, **21**(10):1169-1173.